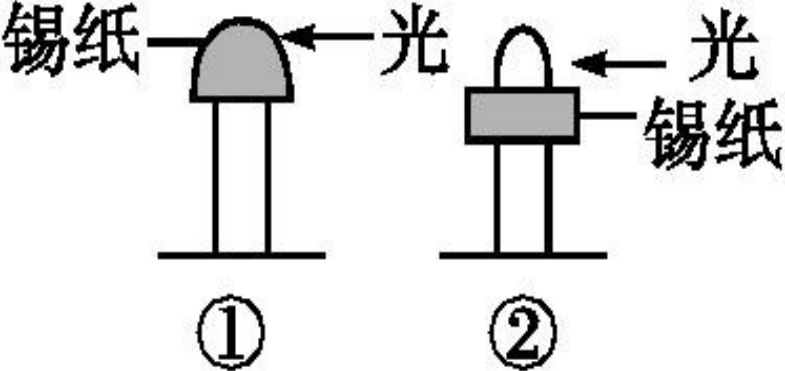
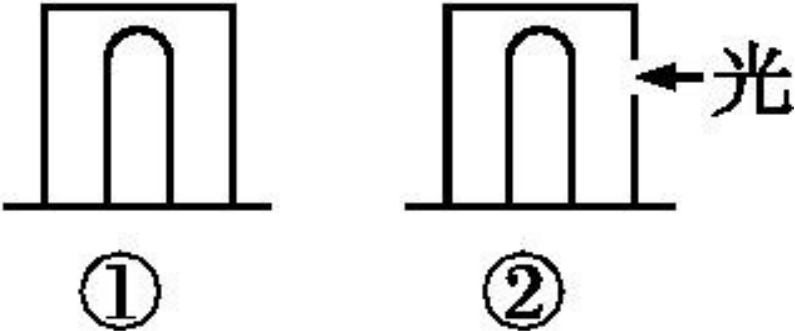


□ 5 □

□ 1 □

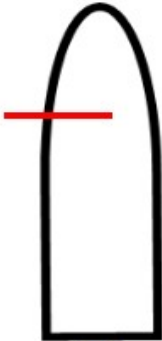
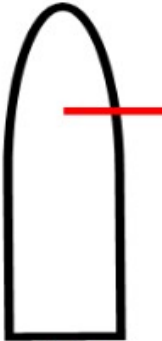
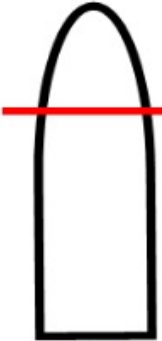
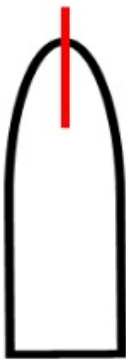
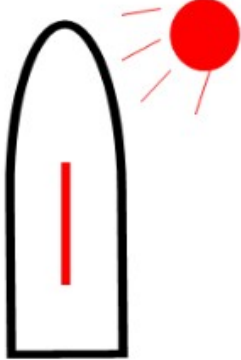
□ □ □ □ □  
□ □ **2** □ □ □

□□□□□□□□□□□□□□□□

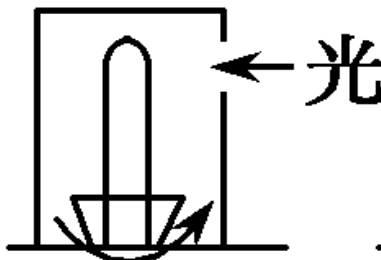
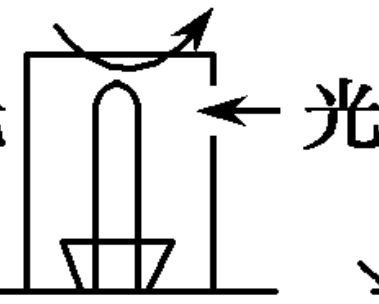
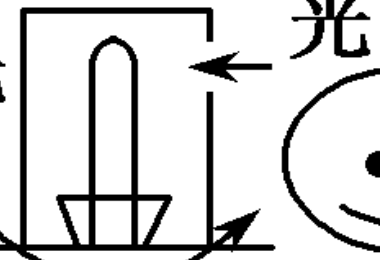

□□	□□□□□□	□□
□□□		<p>① □□□□</p> <p>② □□□□□□</p>
□□□		<p>① □□□□</p> <p>② □□□□□□□□□□</p>



口口口口口口口口口口口口口口口口口口

口口	口口口口口口	口口
<div data-bbox="135 454 341 601"><div data-bbox="219 454 341 518">口口口</div><div data-bbox="135 534 341 601">口口口口口</div></div>	<div data-bbox="461 376 1699 812"><div data-bbox="461 411 621 748"></div><div data-bbox="524 753 583 812">①</div><div data-bbox="721 411 881 748"></div><div data-bbox="751 753 810 812">②</div><div data-bbox="950 411 1110 748"></div><div data-bbox="998 753 1057 812">③</div><div data-bbox="1220 376 1345 732"></div><div data-bbox="1253 743 1312 802">④</div><div data-bbox="1460 376 1699 732"></div><div data-bbox="1490 753 1549 812">⑤</div></div>	<div data-bbox="1867 348 2196 812"><div data-bbox="1867 348 2196 411">① 口口口口口</div><div data-bbox="1867 446 2196 509">② 口口口口口</div><div data-bbox="1867 545 2196 608">③ 口口口口口</div><div data-bbox="1867 644 2107 706">④ 口口口</div><div data-bbox="1867 742 2196 805">⑤ 口口口口口</div></div>

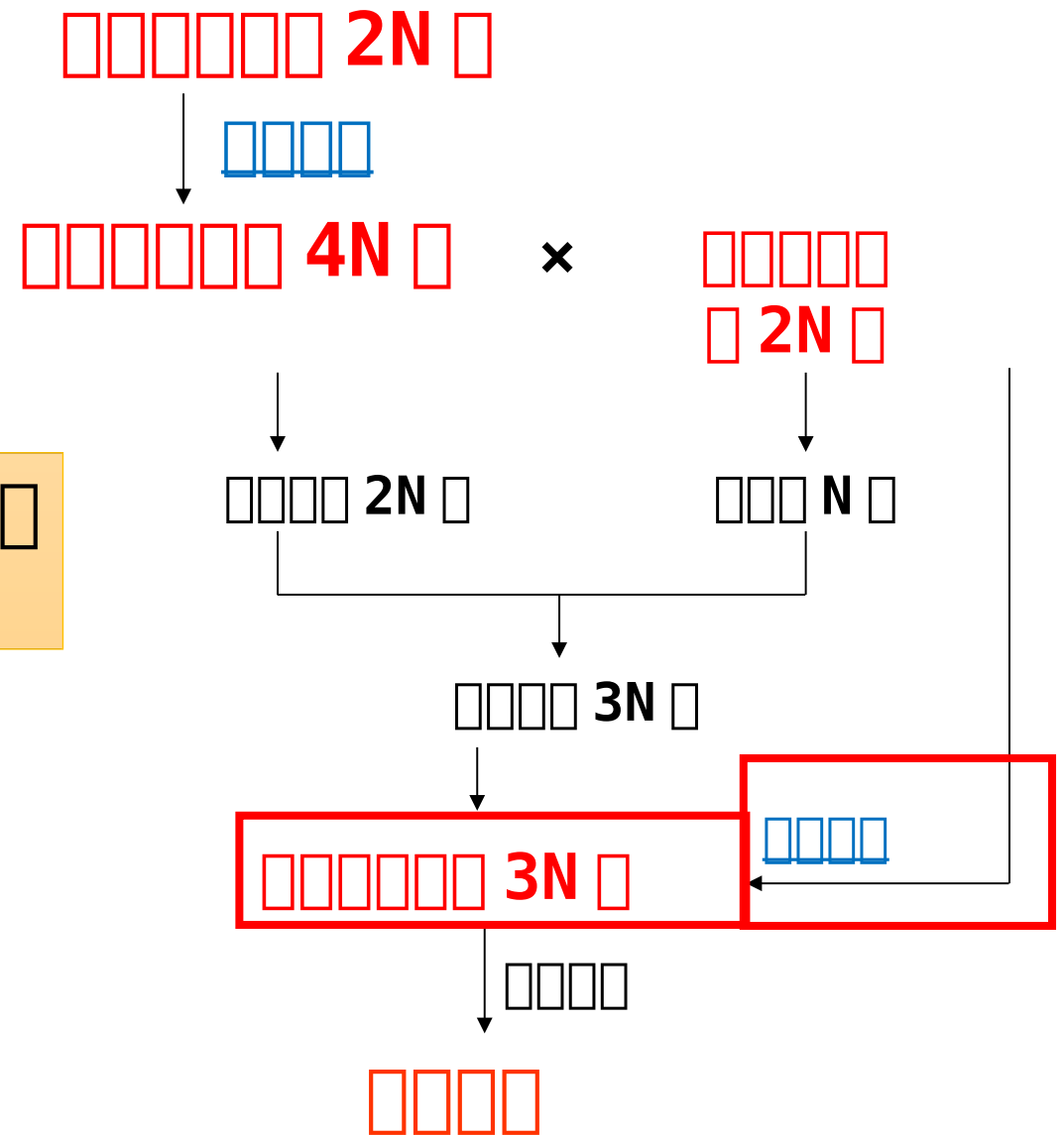
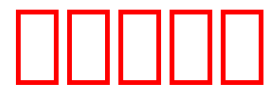
□□□□□□□□□□□□□□□□

□□	□□□□□□	□□
□□□	<div data-bbox="422 448 1717 976"><p>① 盆转</p><p>② 盒转</p><p>③ 都转</p><p>④ 盘转</p></div>	<div data-bbox="1824 476 2201 876"><p>① □□□□</p><p>② □□□□□□</p><p>③ □□□□□□□□</p><p>④ □□□□□□□□</p></div>











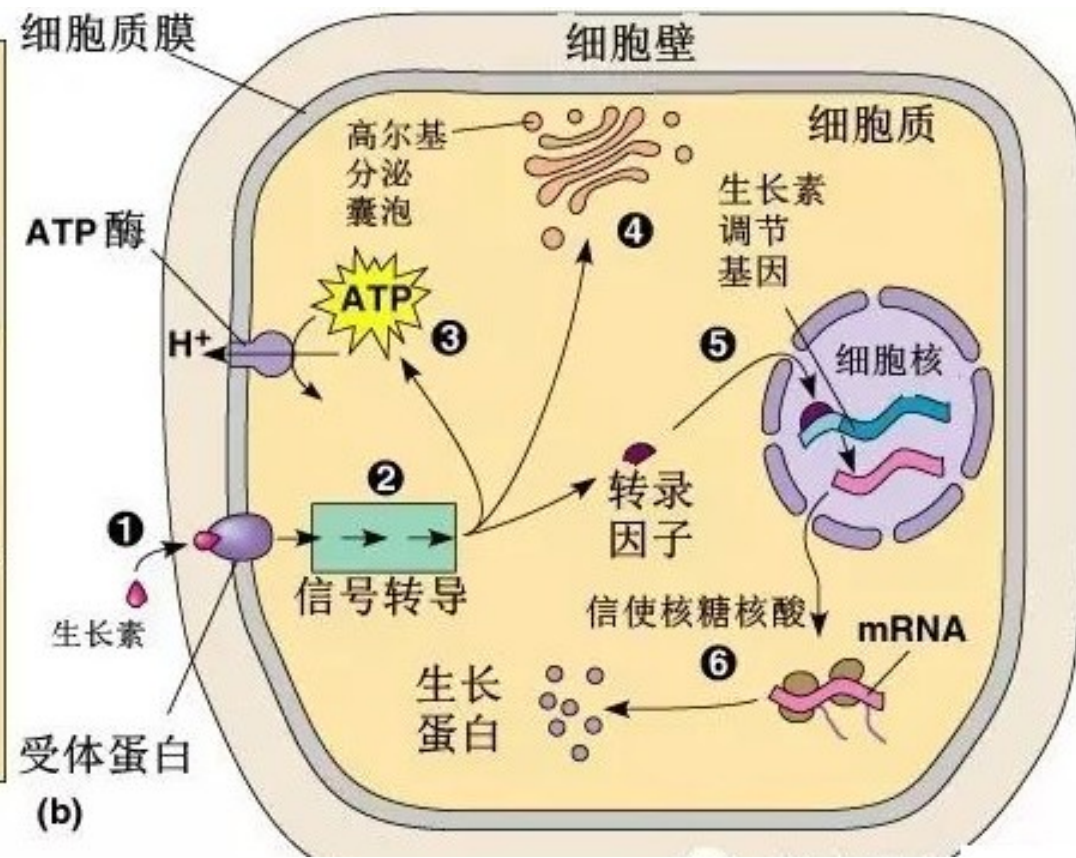
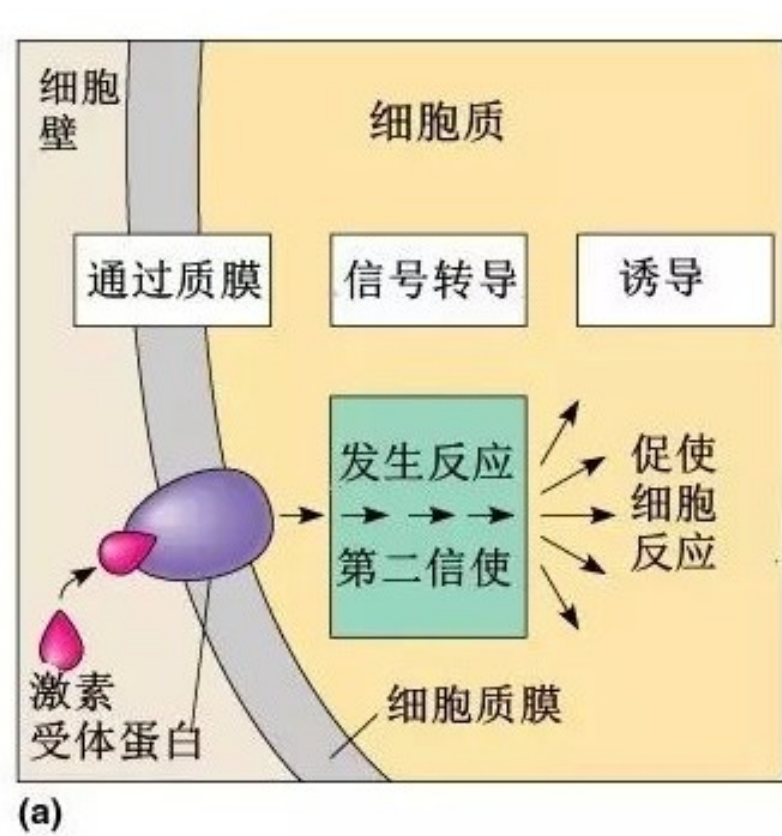


## 2. 植物细胞壁

植物细胞壁的主要成分包括纤维素、半纤维素、果胶、木质素等。这些成分通过复杂的化学键连接，形成坚固的网状结构，为植物细胞提供机械支持和保护。

植物细胞壁的厚度因细胞类型和发育阶段而异。在木质部导管等细胞中，细胞壁非常厚且高度木质化，以承受水的运输压力。而在薄壁细胞中，细胞壁则相对较薄。

植物细胞壁的组成成分包括：纤维素、半纤维素、果胶、木质素、糖蛋白等。



植物细胞壁的厚度与细胞的生理功能密切相关。例如，在根尖分生组织细胞中，细胞壁较薄，有利于细胞的快速分裂和伸长；而在成熟细胞中，细胞壁增厚，有助于维持细胞的形状和结构。



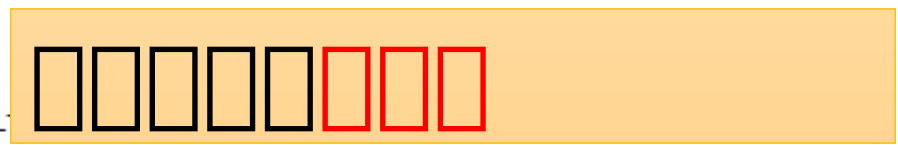


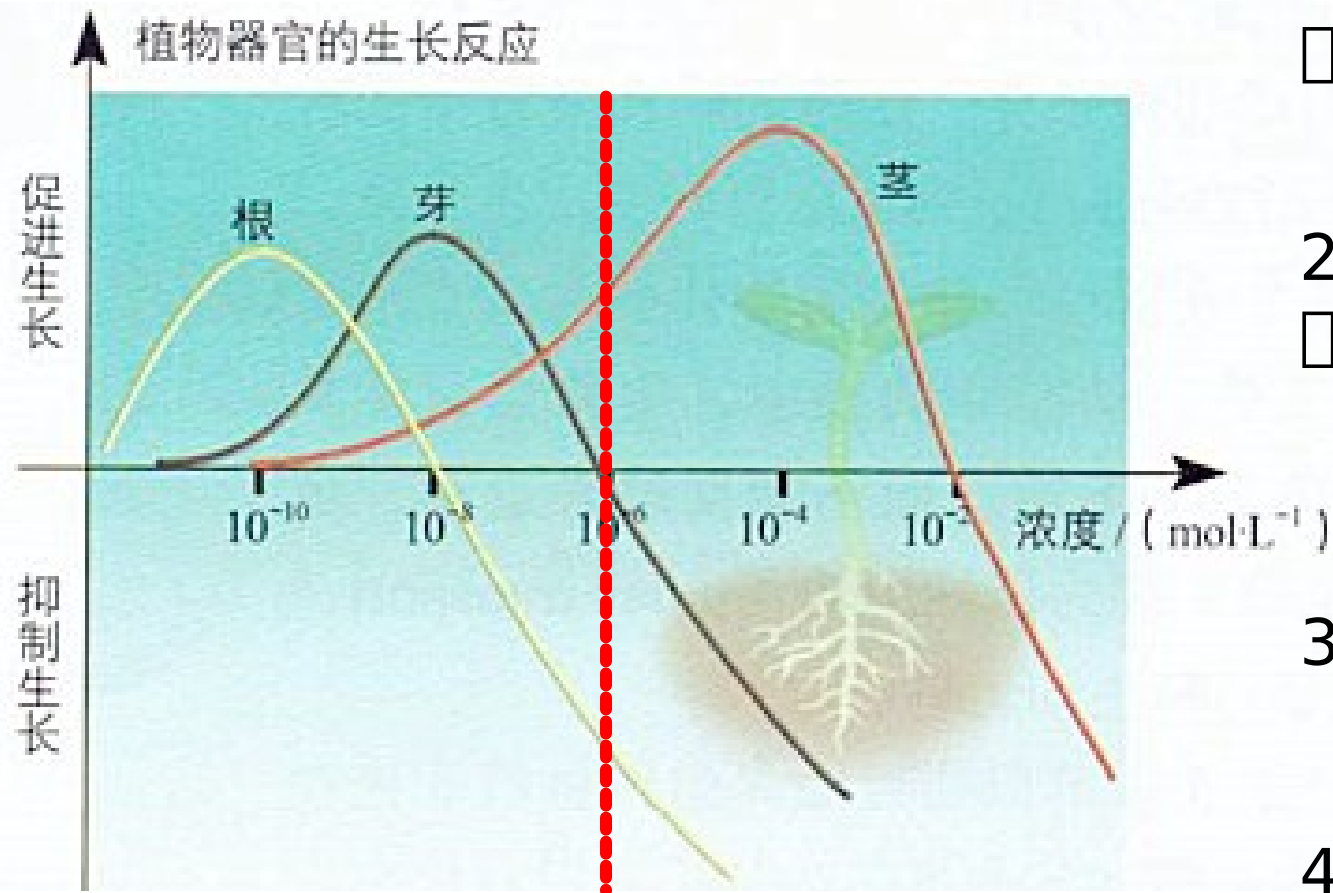
The graph shows the pH of a solution as a function of the concentration of a weak acid. The x-axis represents the concentration in  $\text{mol} \cdot \text{L}^{-1}$  on a logarithmic scale, with major ticks at  $10^{-8}$ ,  $10^{-6}$ ,  $10^{-4}$ , and  $10^{-2}$ . The y-axis represents the pH, ranging from 0 to 10. A red curve starts at point A (low concentration, low pH), rises to a maximum at point B (intermediate concentration, high pH), and then falls through points F, F', C, and D (higher concentrations, lower pH). A horizontal dashed line indicates the pH of the solution, which is approximately 4.5. A vertical dashed line passes through point B, indicating the concentration of the weak acid at its maximum pH.

11

A horizontal sequence of 20 rectangles. The first 10 rectangles are red, and the last 10 rectangles are blue.

[illegible]



$$\frac{100}{100} \cdot \frac{100}{100} = \frac{100}{100}$$


1.

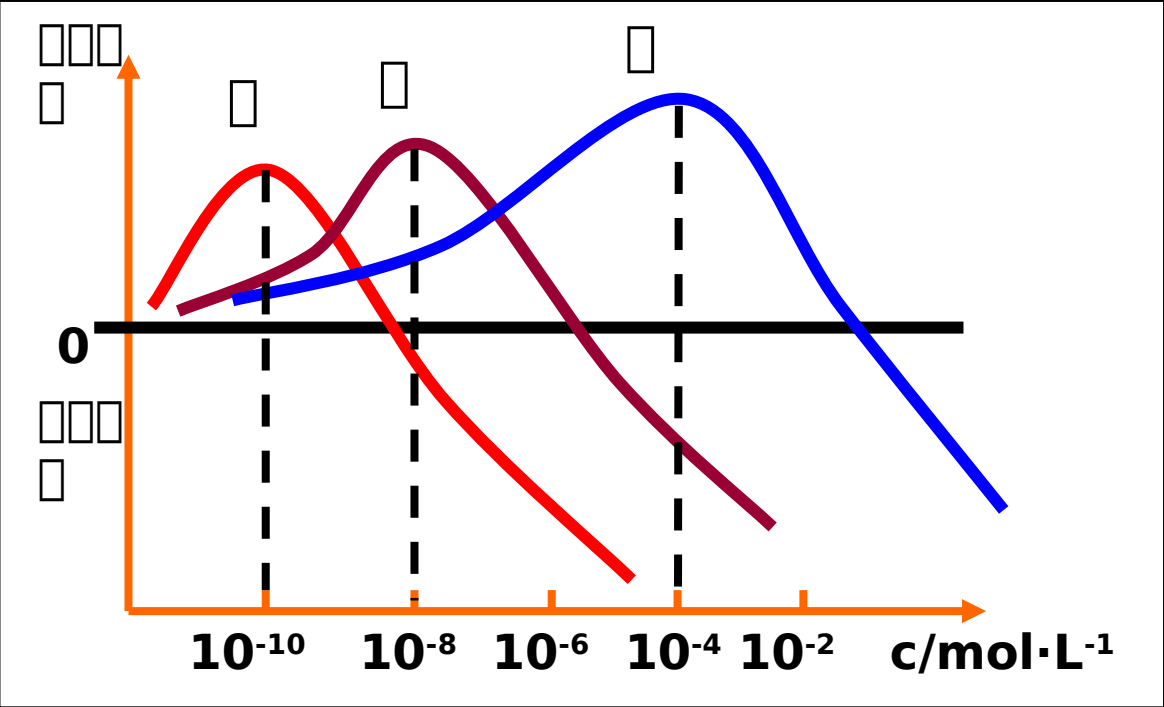
**10<sup>-10</sup> 10<sup>-8</sup> 10<sup>-4</sup>**

2. □□□□□□□  $\mathbf{10^{-6}}$  □□□□□□□□□□□□□□  
□□□□

3. □□□□□□□□□□□□□□□□□□

111

4. ☐ ☐ ☐ ☐ ☐ ☐ ☐ ☐ ☐ ☒ ☒ ☒ ☒ ☐ ☐ ☐ ☐ ☐ ☐



□□□ **P94** □□

**1** □□□□□□□□□□

□□□□□□□□□□——□□□□□□

**2** □□□□□□□□□□

□□□□□□□□□□□□□□  
——□□□□□□□□

□□□□□□□□□□□□

□ **1** □□□□□□□□

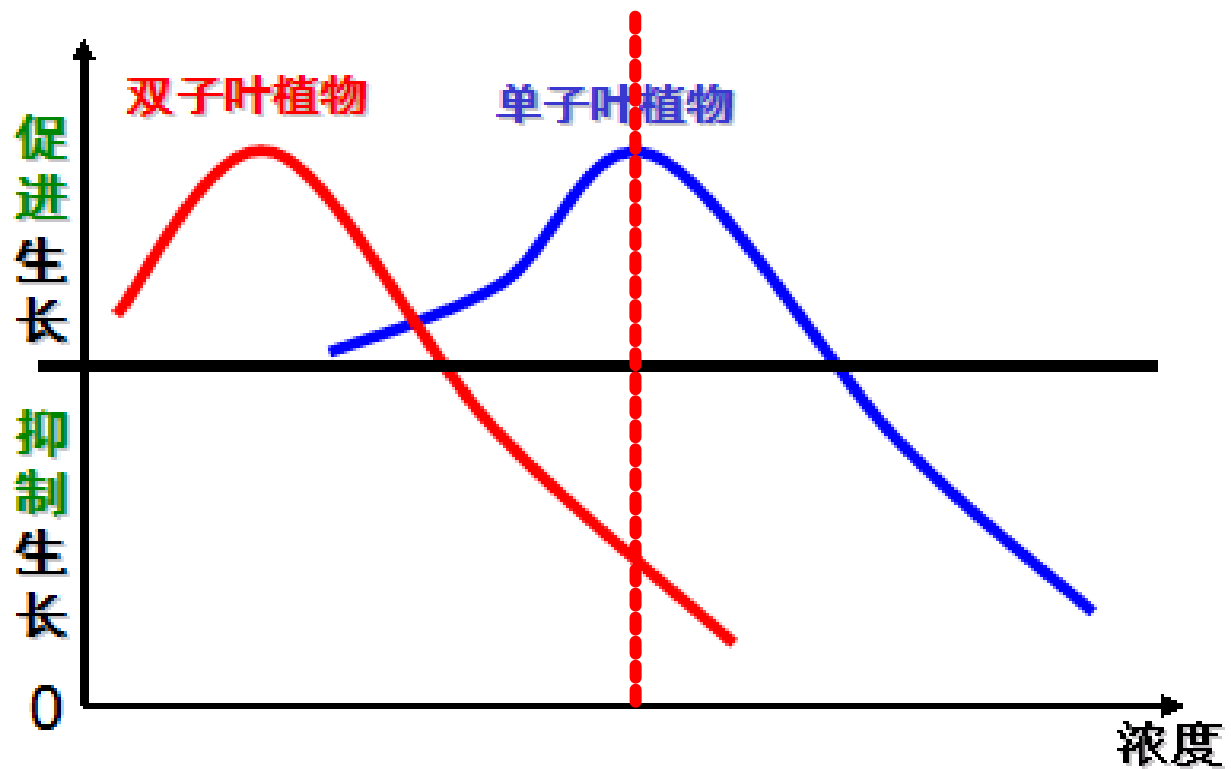
□ **2** □□□□□□□□

□ **3** □□□□□□

□□□□□ > □ > □

□□□□□□□□□□

□□□□□□□□□□□□□□□□



□□□□□□□□

□□□□□□□□□□□□□□

□□□□□□□□□□□□□□□□

□□□□□□□□□□□□□□□□□□□□



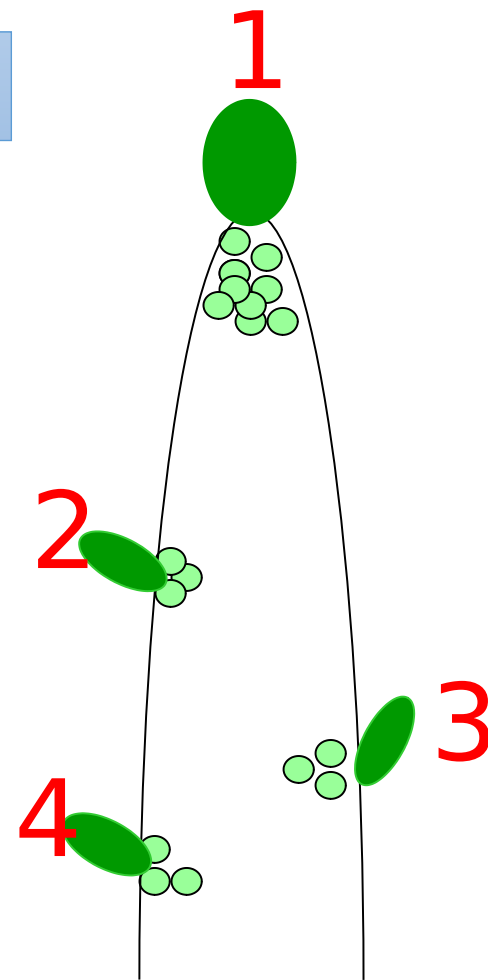
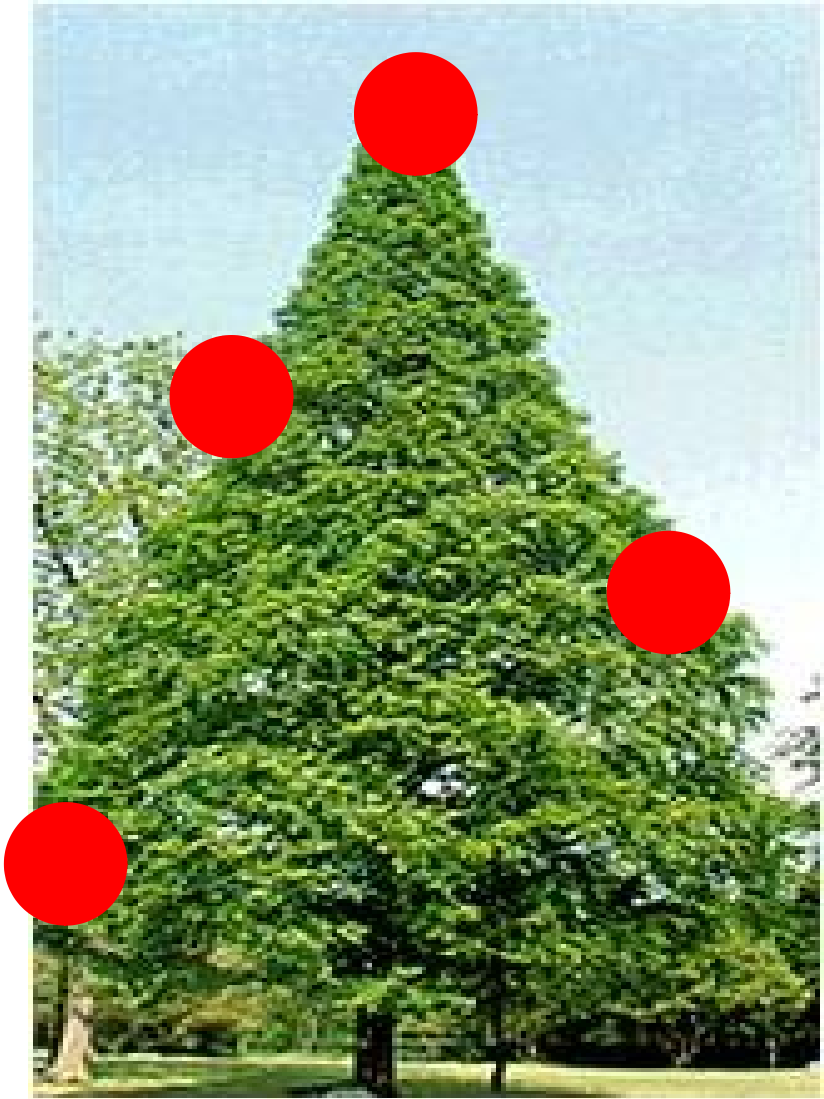
□□□□□□□□□□□□□□□□“□□□”□

□□□□□□□□□□□□□□□□

□□□□□□□□□□□□□□□□

□□□□□□□□□□□□□□□□“□□□□”□

□□□□



□□□□□□ 2 > 3 > 4 > 1

□□

□□

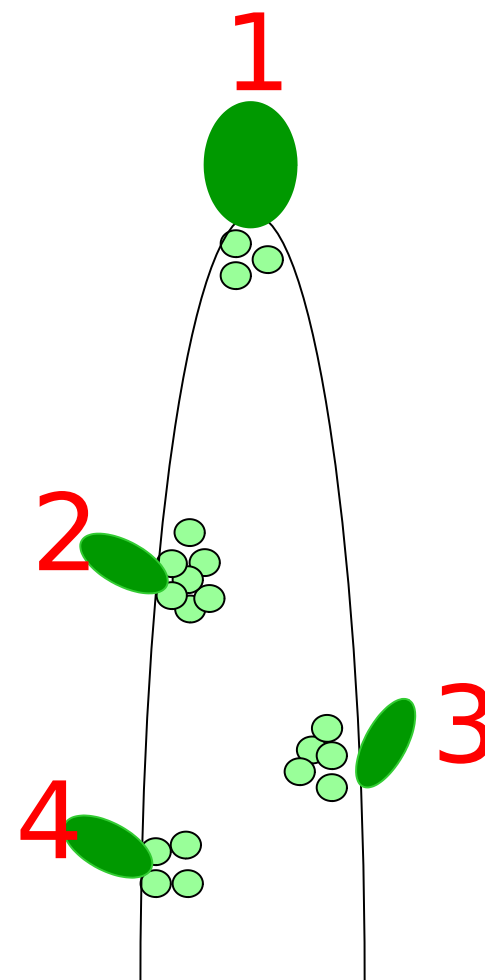


□ □ □ □ □ □ □ □ **1** □ □ □ □ □ □

①

**②**

□ □ □ □ □ □ □ □ □ □ □



□□□□□□□□ 1 □□□□□

③ □□□□□□

a. □□□□□□



□□□□□□□□□□  
□□□

b. □□□□□□ — — □□□□



□□□□□□□□□□□□  
□□□□□□□□□□□□  
□



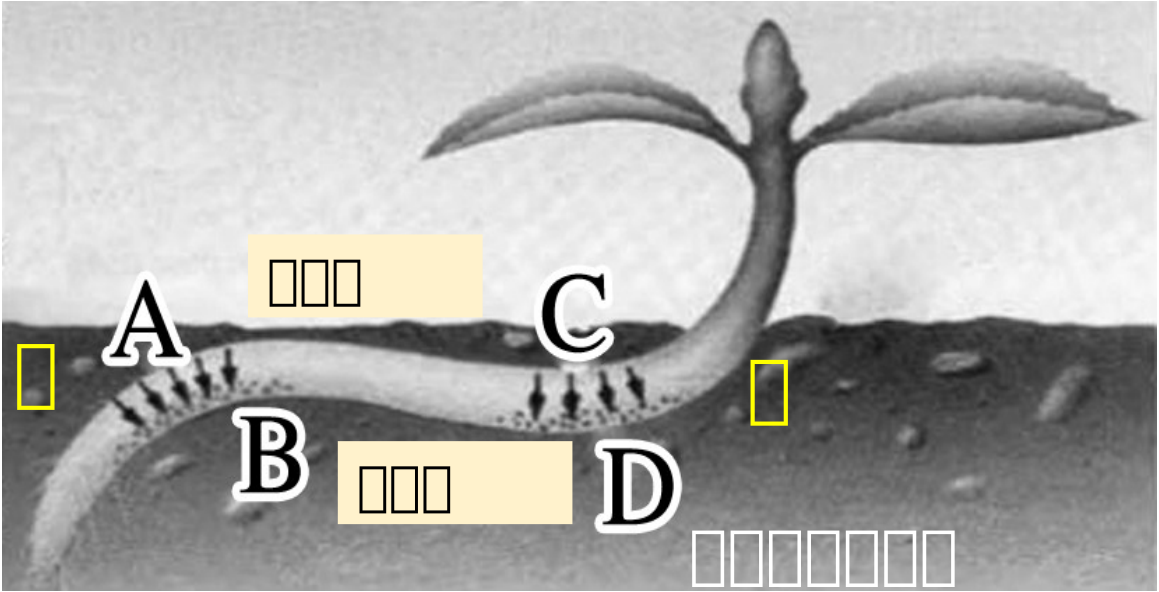
□□□□□□□□□□□□  
□□□□□□□□□□□□  
□□□□



□□□□

□□□□□□□□□ 2 □□□□□□

□□□□□□□□□□□□



□□□□□□□□□□□□□□□□

□□□□□□□□□□□□□□□□ B □ A □ D □

C □

□□□□□□□□□□ C □ D □□□□□□□□□□ D □□□□

□□□□□□□□□□□□

□□□□□□□□□□ B □□□□□□□□□□□□□□□□ A □

B □□□□□□□□□□□□□□□□□□□□□□□□□□□□□□□□

□□

□□

□□□□□□□ \_\_\_\_\_  $A < B$

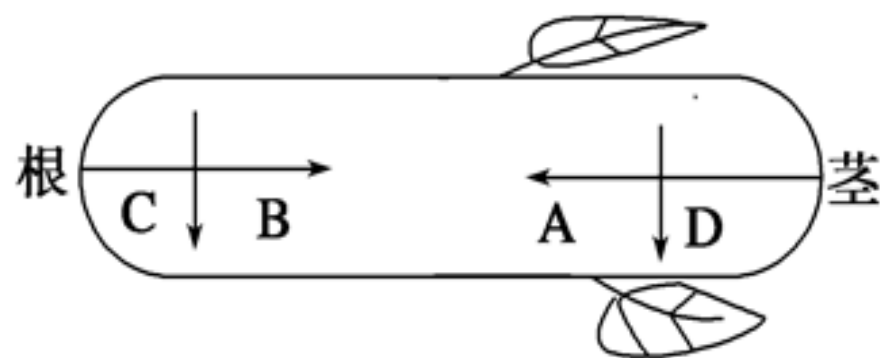
□□□□□□□ \_\_\_\_\_  $C < D$

□□□□□□□□□□□□□□

□□□□□□ \_\_\_\_\_  $A > B$

□□□□□□ \_\_\_\_\_  $C < D$

## (2)分析植物茎的负向重力性和根的向重力性



A、B 为      运输，C、D 为重力作用下的      运输。

地心引力→生长素分布      →近地侧浓度      →

{      →茎的负向重力性  
     →根的向重力性

总结 { ①外因:       
 ②内因: 生长素分布不均匀; 根、茎对生长素的反应       
    

□□□□□□□□□□□□□□□□  
 □□□□□□□□□□□□□□□□  
 □□□□

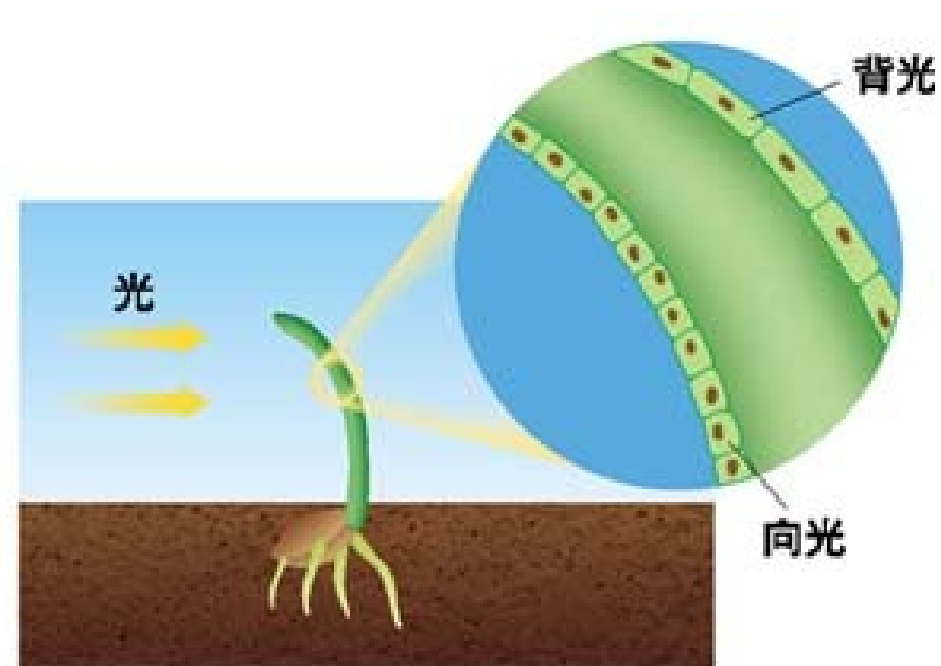
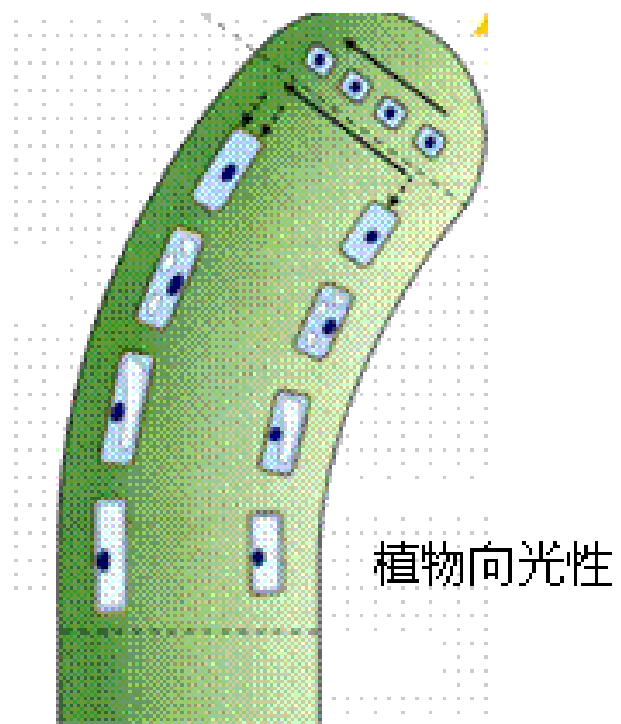
□□□□□□□□□□□□  
 □

□□□□□□□□ 2 □□□□□□

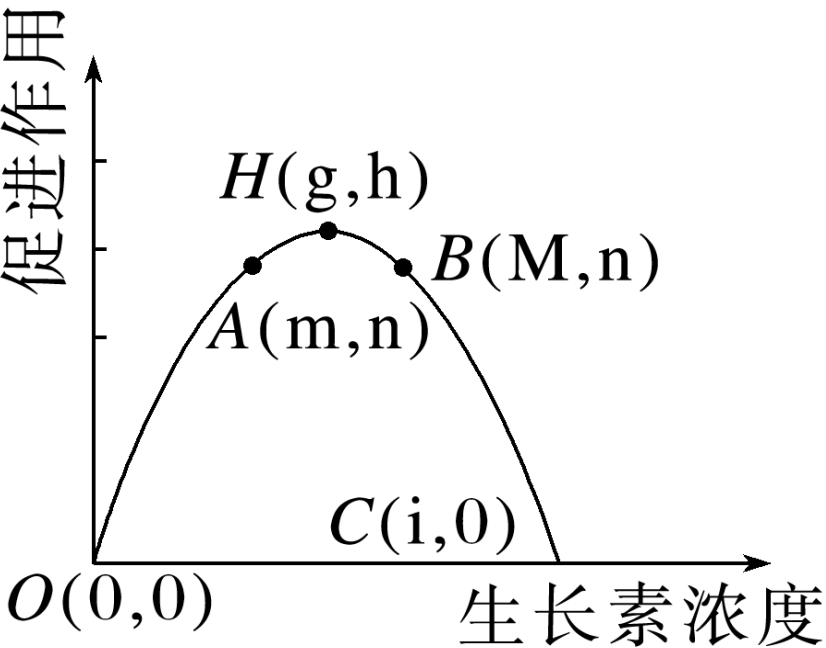


□□□□□□□□□□□□□□

□□□□□□□□□□□□



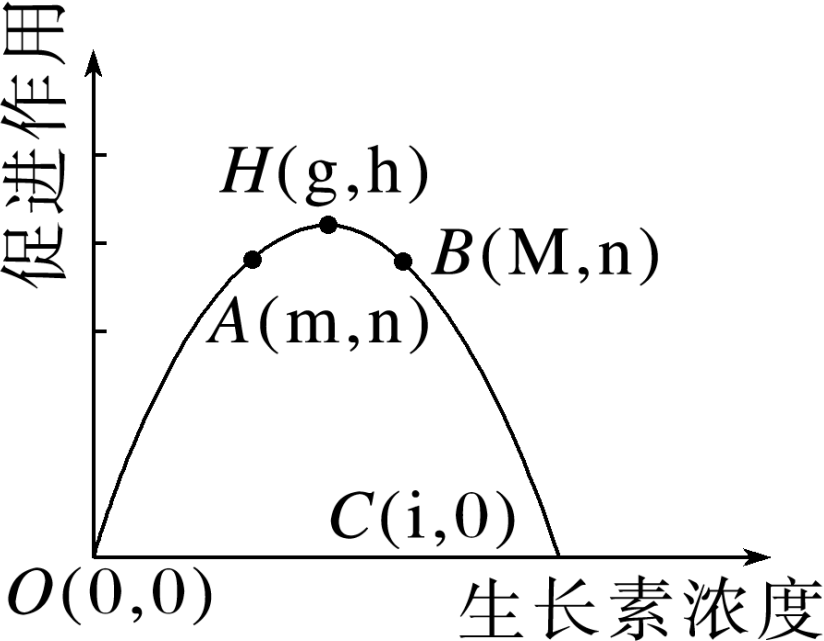
5 生长素对植物生长的影响



(1) 生长素对植物生长的影响与生长素浓度有关，当生长素浓度为  $m$  时，促进作用的强度为  $n$ 。当生长素浓度为  $M$  时，促进作用的强度为  $n$ 。

(2) 生长素对植物生长的影响与生长素浓度有关，当生长素浓度为  $m$  时，促进作用的强度为  $n$ 。当生长素浓度为  $i$  时，促进作用的强度为  $0$ 。

5 填空题



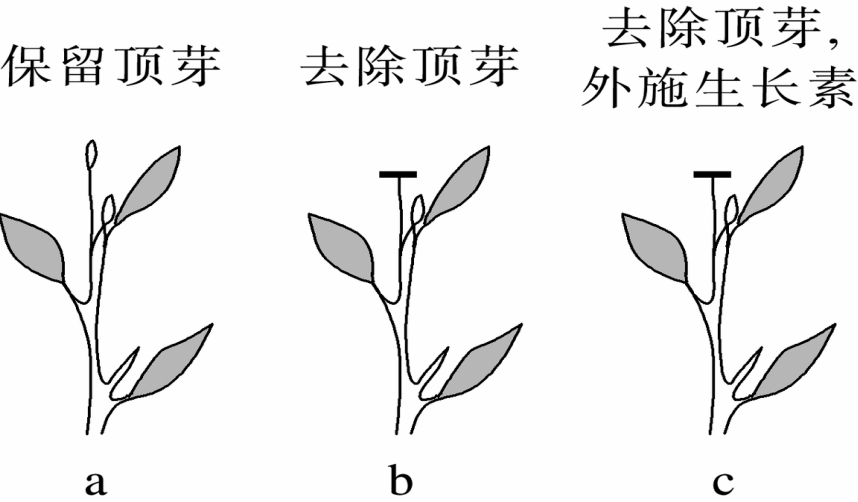
(3) 填空题  
M 促进作用的  
范围是 0 到 m

(4) 填空题  
m 促进作用的  
范围是 i



3 实验材料与方法

1934 年 Thimann 实验材料与方法



处理	侧芽生长量 (mm)
a. 对照	3.4±0.5
b. 去除顶芽	16.0±2.7
c. 去除顶芽并外施生长素	1.8±0.6

实验 (1) a 与 b 侧芽生长量比较

侧芽生长量显著增加

(2) b 与 c 侧芽生长量比较

侧芽生长量显著减少

(3) 侧芽生长量比较

侧芽生长量显著减少

4 实验材料：燕麦胚芽鞘切段 A B C D E 生长素类似物溶液 ① ② ③ ④ ⑤

实验步骤：将切段浸入溶液一段时间，取出，测量其长度。 A ① B ⑤ C ④ D ③ E ②

